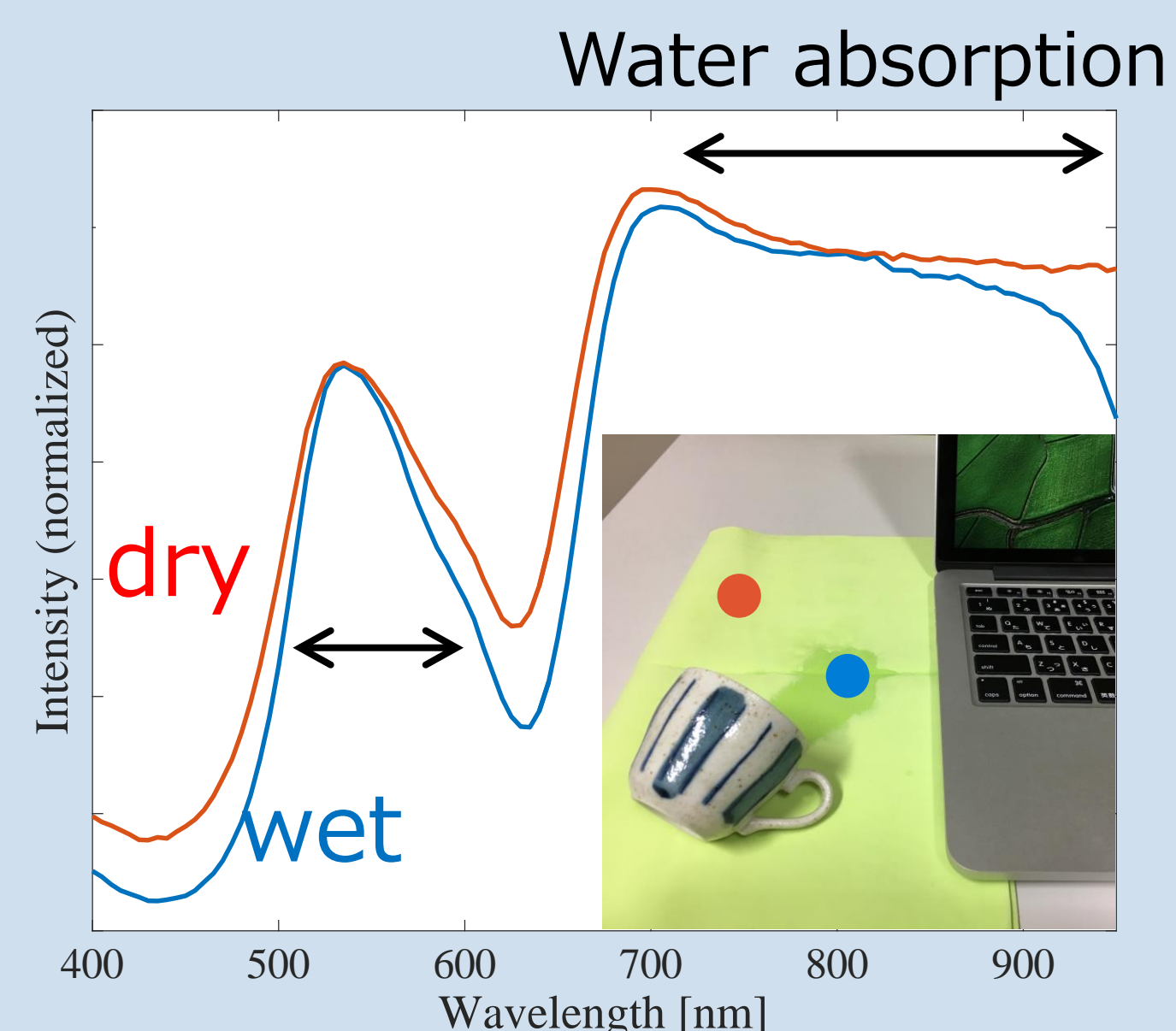


三原色を超えて、光スペクトルからわかること

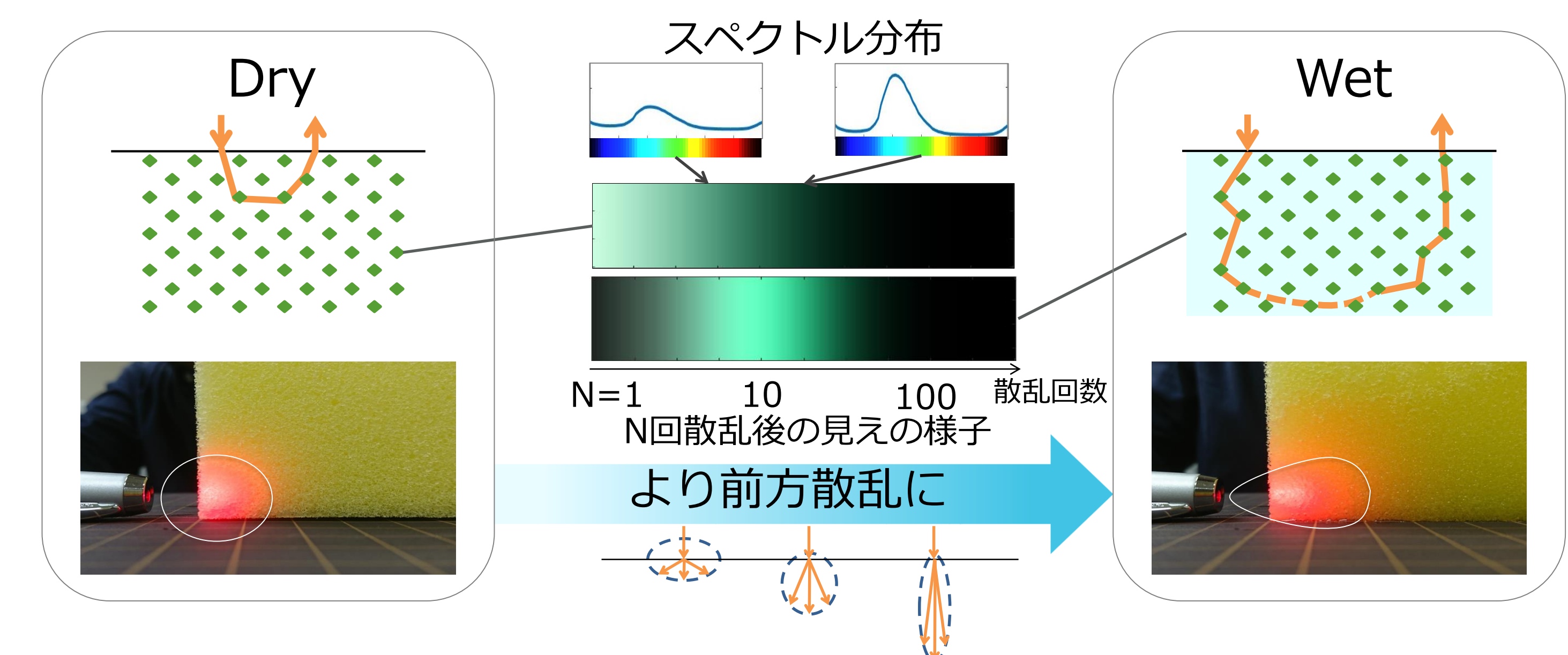
# Wet/Dry? 状態変化に伴う輝度・色変化

## どんな研究?

状態の違いによる見えの変化のモデル化  
特に、『濡れている』状態の見えに着目



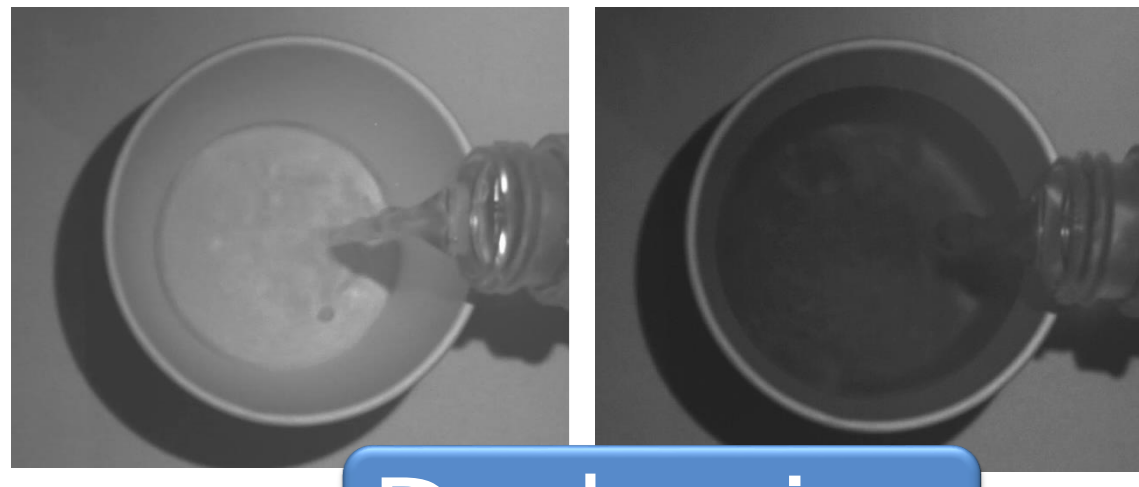
### 濡れた表面の分光モデル



$$I(g_d, g_s, u(\lambda_k), v(\lambda_k), \gamma) = I_0 \sum_n \alpha \left( g_d^{(1-\gamma)} g_s^\gamma, n \right) p^{\{n\}} \left( g_d^{(1-\gamma)} g_s^\gamma \right) \exp[-r_0(u(\lambda_k)n + v(\lambda_k)\gamma n)]$$

n回散乱した後に光が物体表面に返ってくる割合  
 Henyey-Greenstein位相関数  
 光路長の伸長  
 素材や液体の吸収

Spectral sharpening



Darkening

## 何がわかる?

濡れることによる見えの変化の特徴

Spectral sharpening

Darkening

- 濡れた表面の見えの分光モデルの構築
- 濡れ分布や乾いた状態の色を一枚の分光画像から復元



濡れ分布の再現例

### 表面の濡れと色の推定

導出した分光モデルに基づいて、濡れや吸収係数等を推定

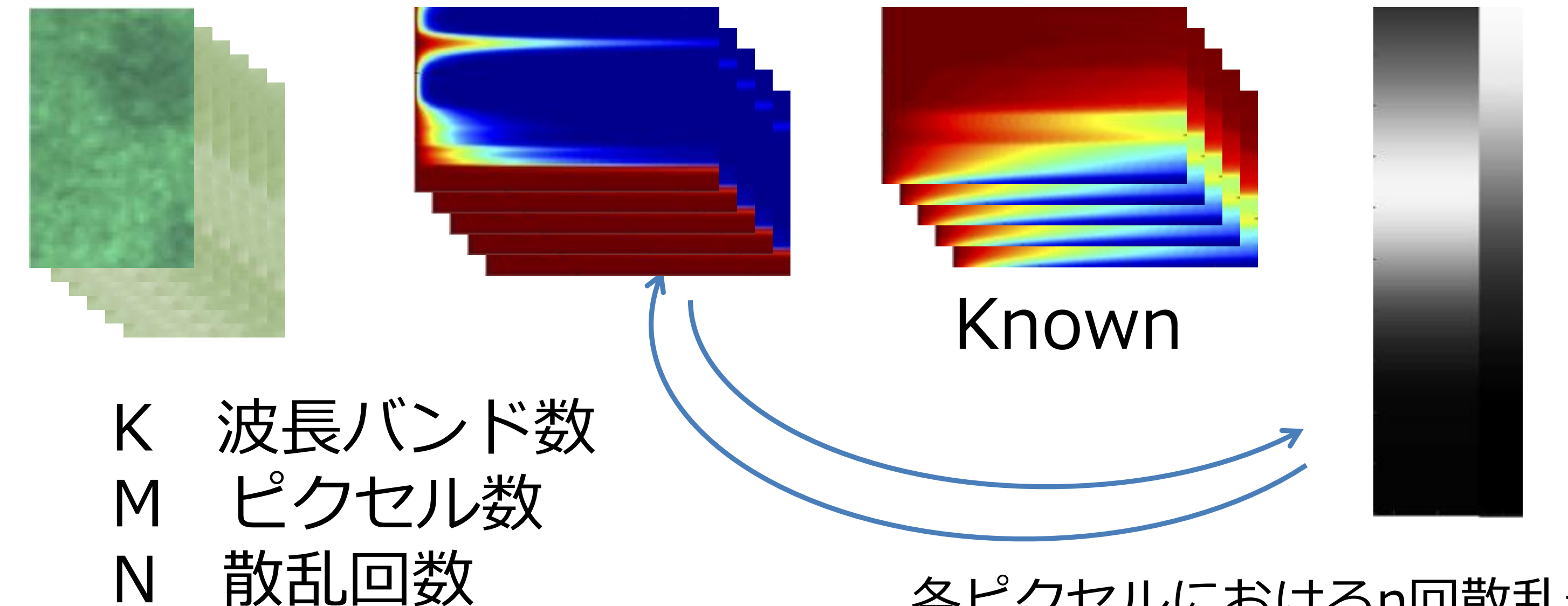
$$\mathcal{W} = (\mathcal{A} \circ \mathcal{B}) * \mathcal{T}$$

Material and liquid absorption

$K \times M$

$K \times N \times M$

$N \times M$



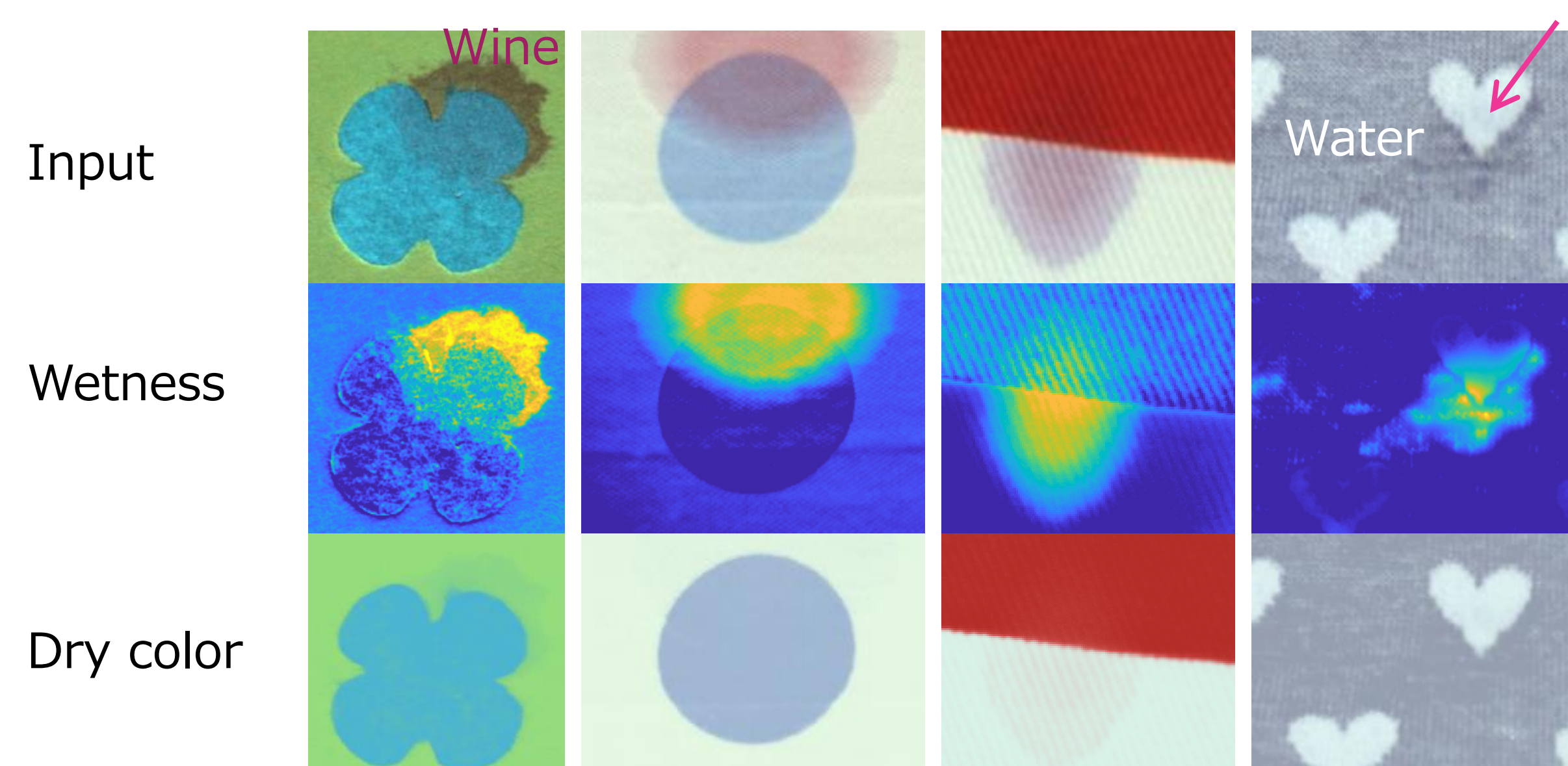
K 波長バンド数  
 M ピクセル数  
 N 散乱回数

各ピクセルにおけるn回散乱光が物体表面に返ってくる割合

交互最適化によって各パラメータを推定  
(テクスチャを含んだシーンの場合は各画素がどの色かも推定)

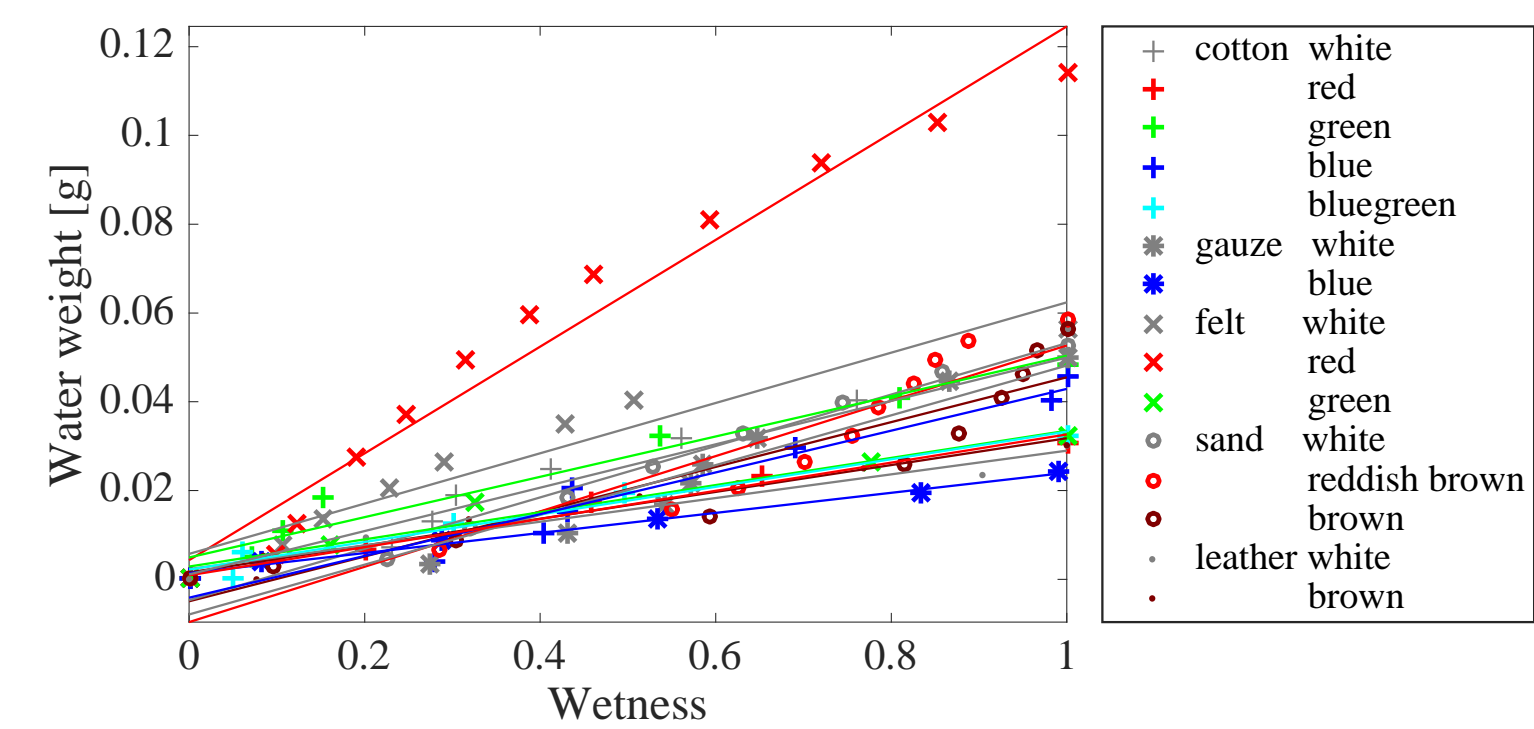
### 実験結果

#### 1. 濡れと色の推定

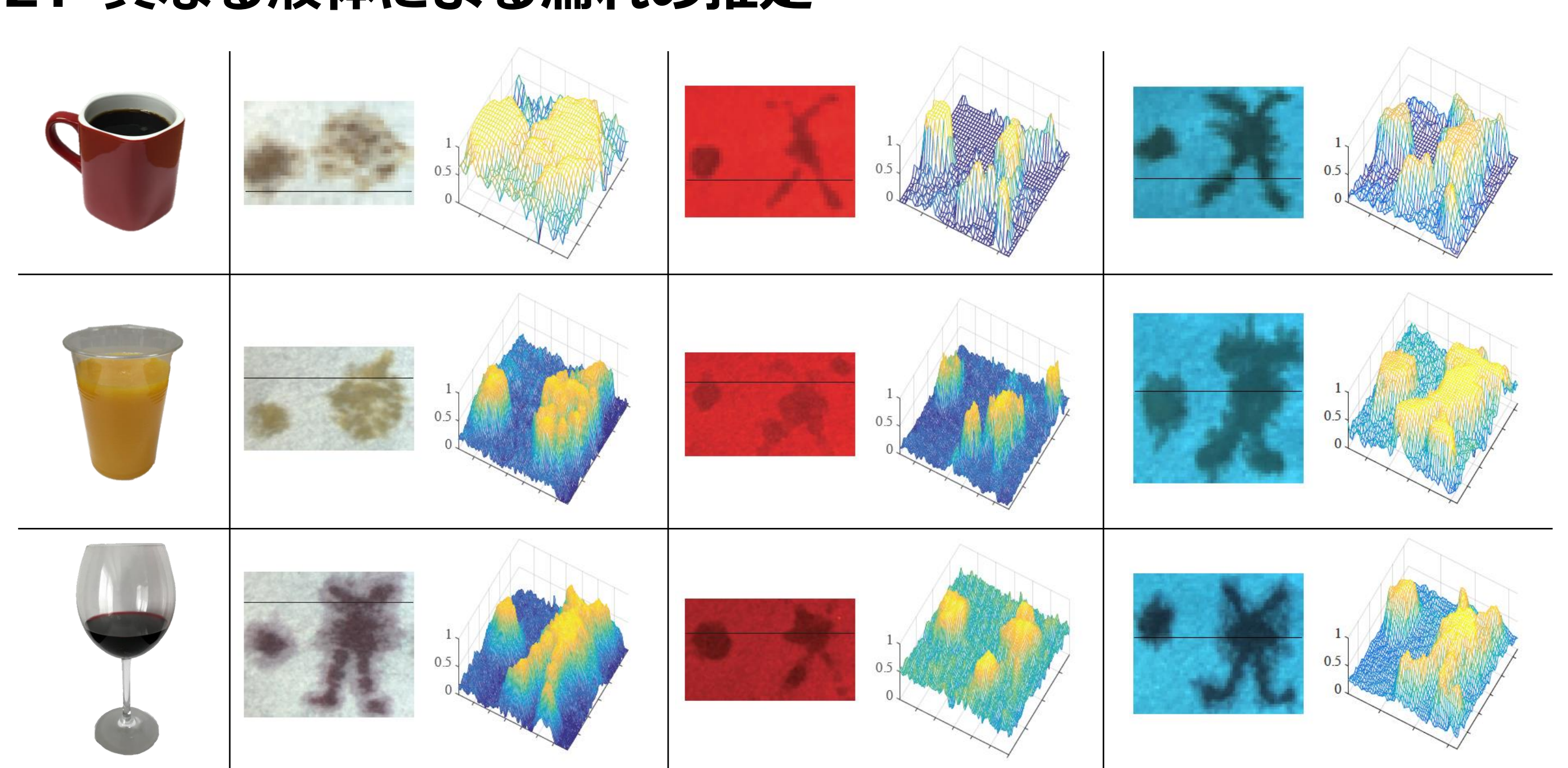


#### 3. 定量評価

『濡れ度合い』の正解を『しみ込んだ水の重さ』として計測。推定濡れ度合いとほぼ線形となり、十分な精度を達成



#### 2. 異なる液体による濡れの推定



IEEE 2017 Conference on  
Computer Vision and Pattern  
Recognition



コンピュータビジョン  
トップ国際会議  
Oral採択

# 光と画像のモデルからわかること 光学と画像処理による 実世界センシング

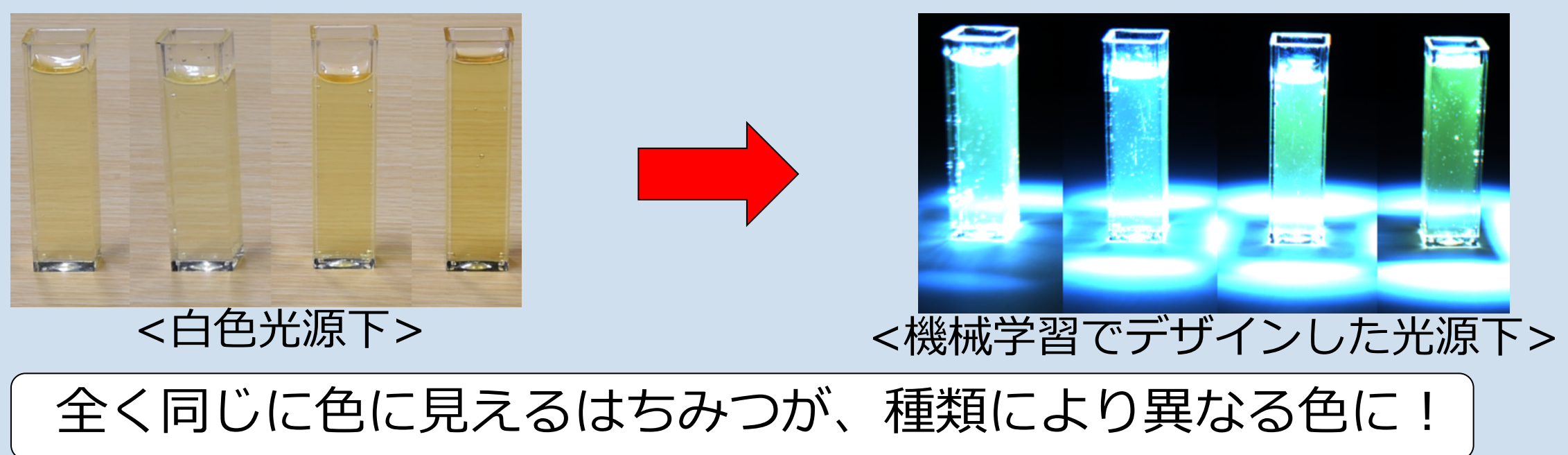
実世界の様々な質感  
SHITSUKAN Science & Technology



様々な材質・形状

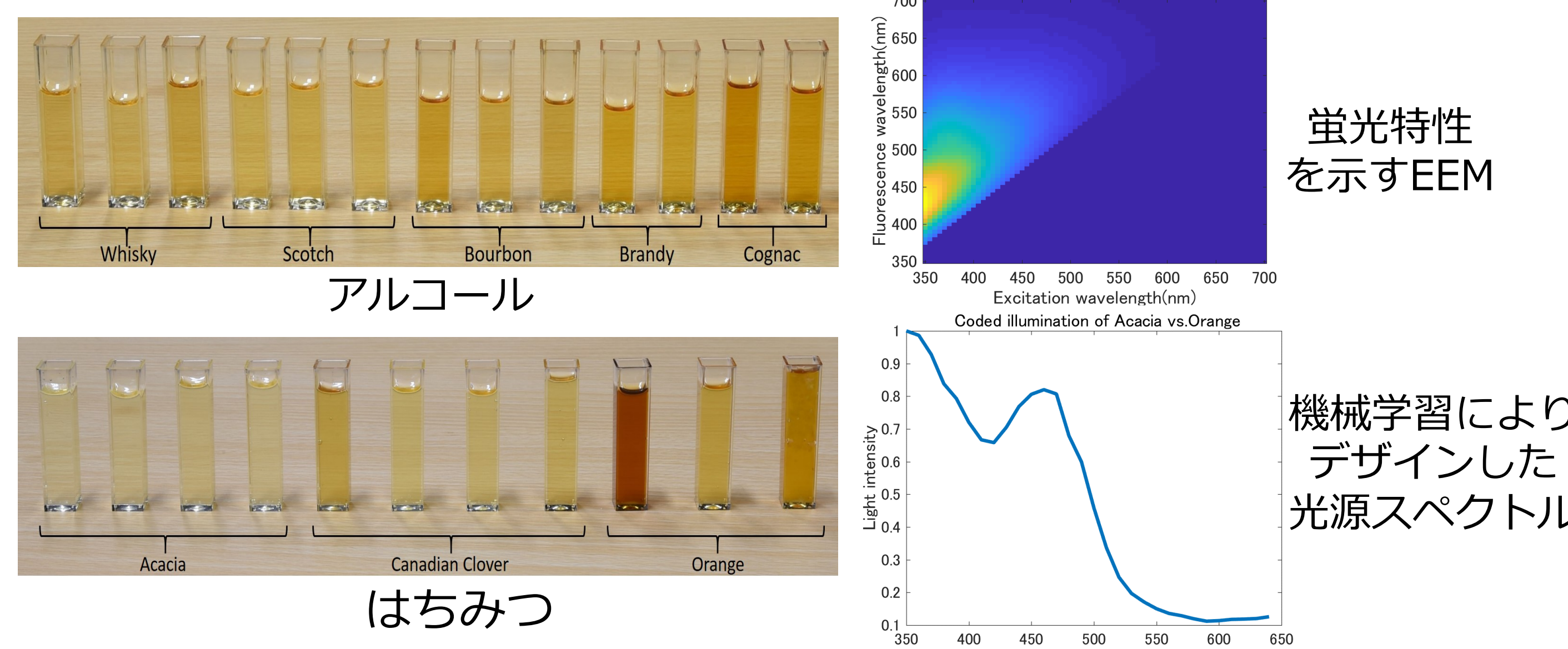
## 蛍光特性による分類手法 Coded Illumination and Imaging

蛍光発光特性を事前に機械学習することで  
商品の種類や産地、異物がないかを識別



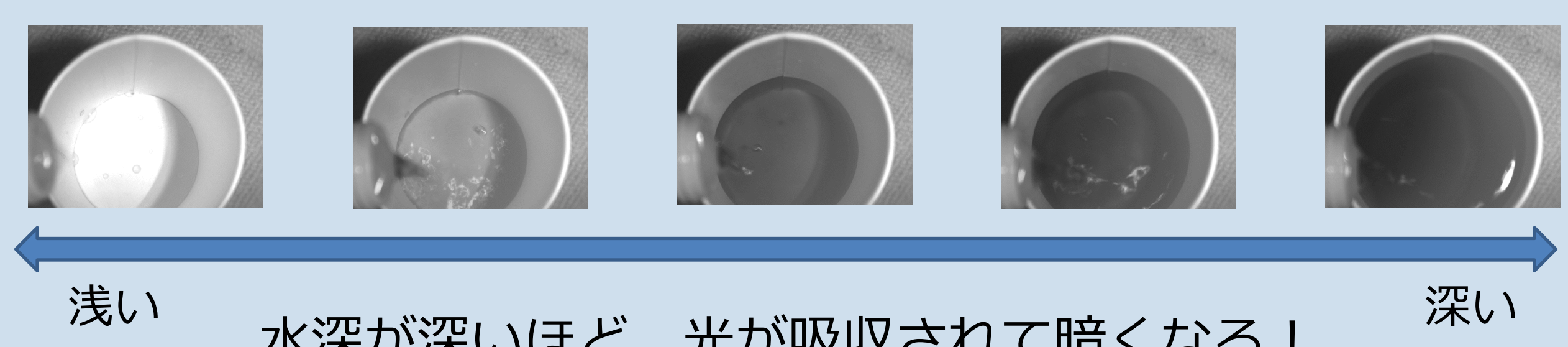
<白色光源下>                            <機械学習でデザインした光源下>

全く同じに色に見えるはちみつが、種類により異なる色に！

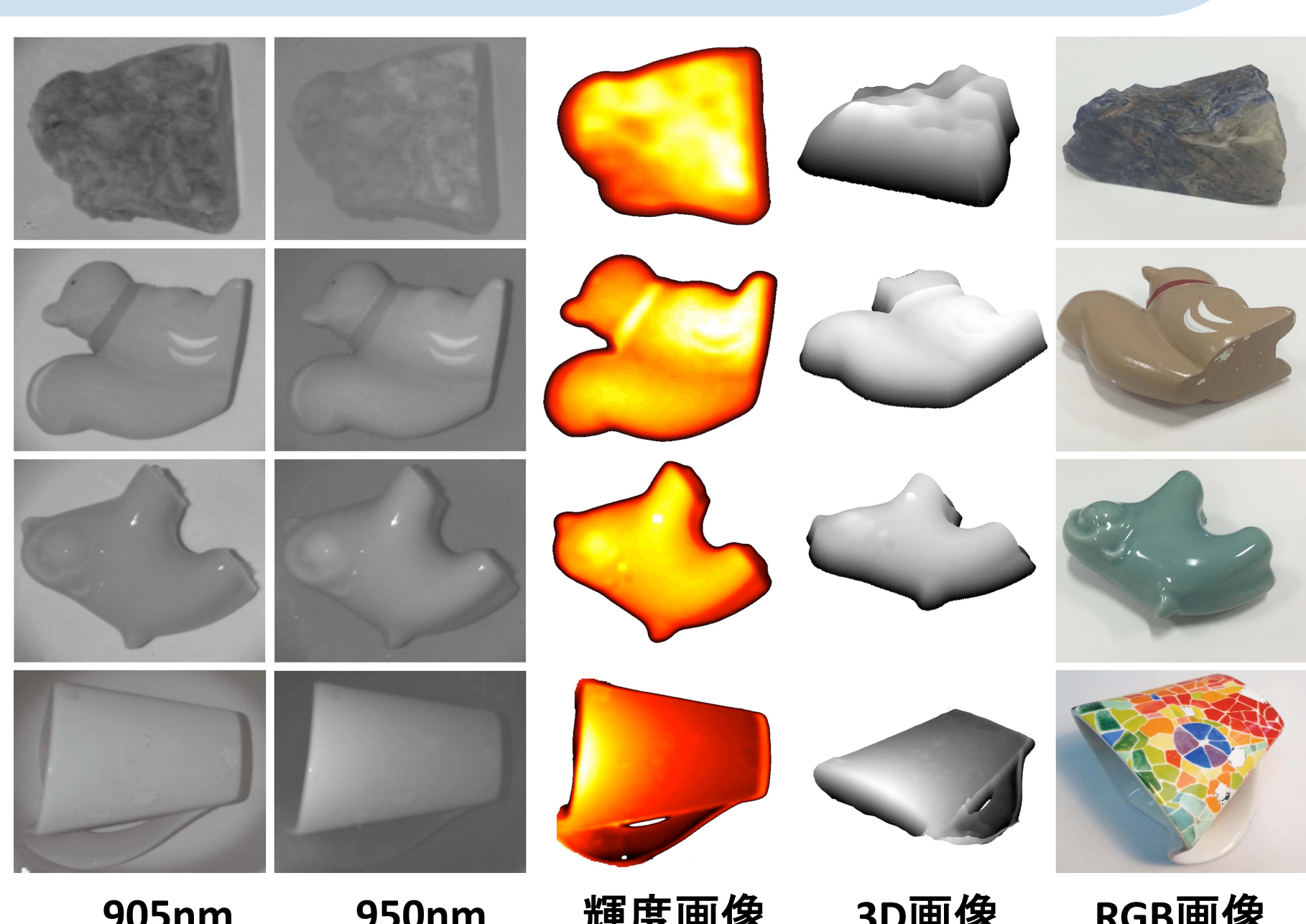
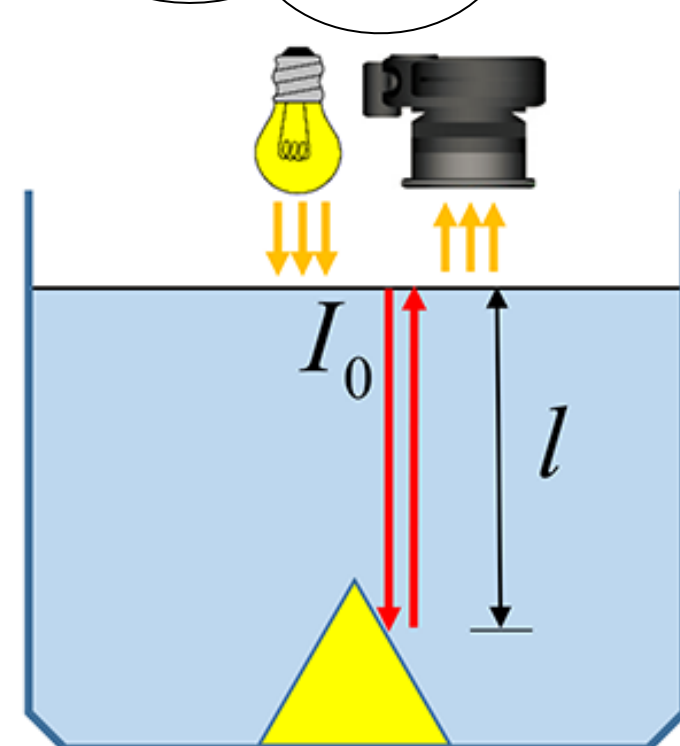


## 水中における物体の形状推定手法 Shape from Water

近赤外線が水に吸収される特性を利用して  
対象物体の三次元形状を推定

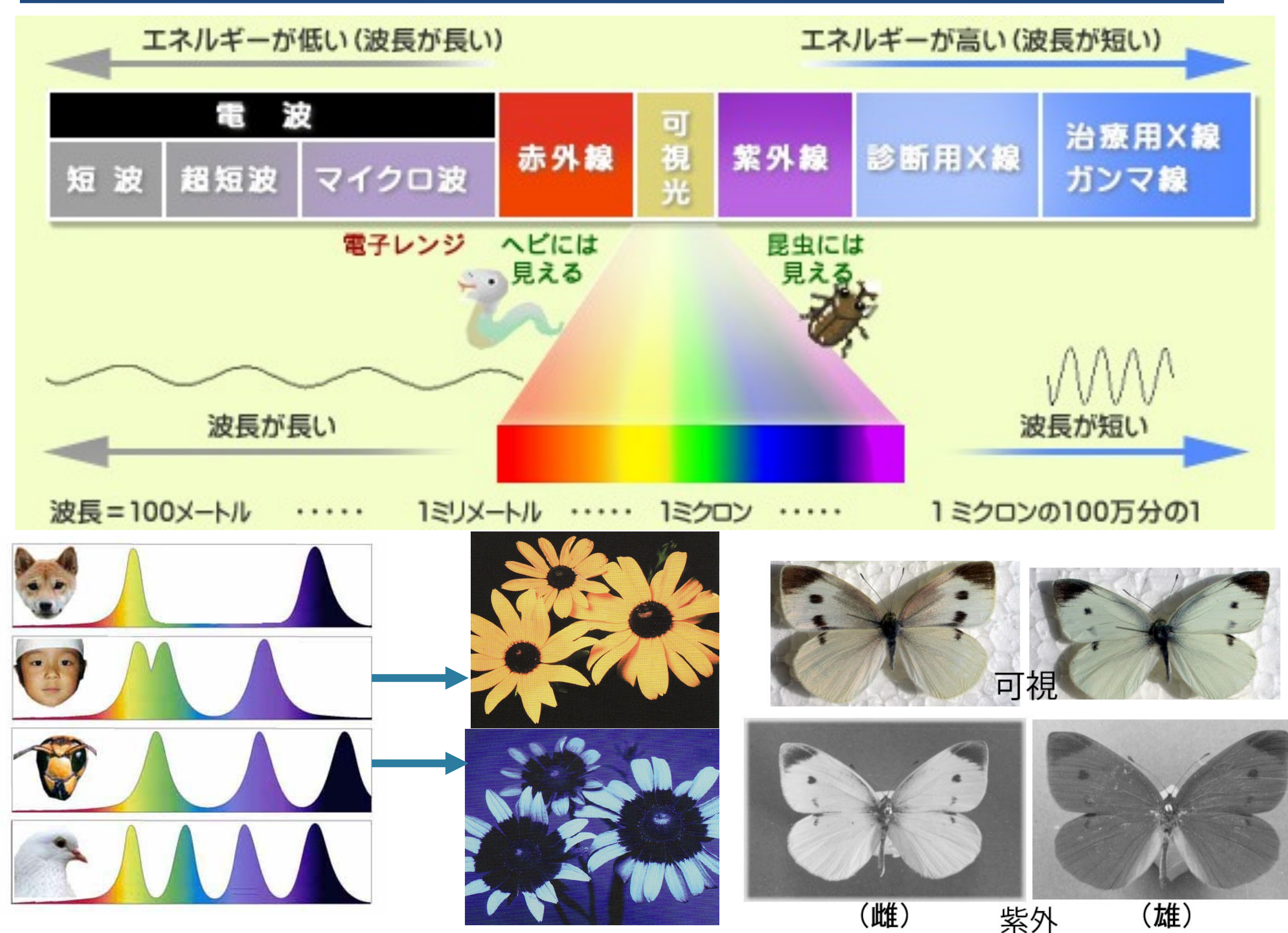


特殊な反射特性を  
有する対象を  
形状推定可能



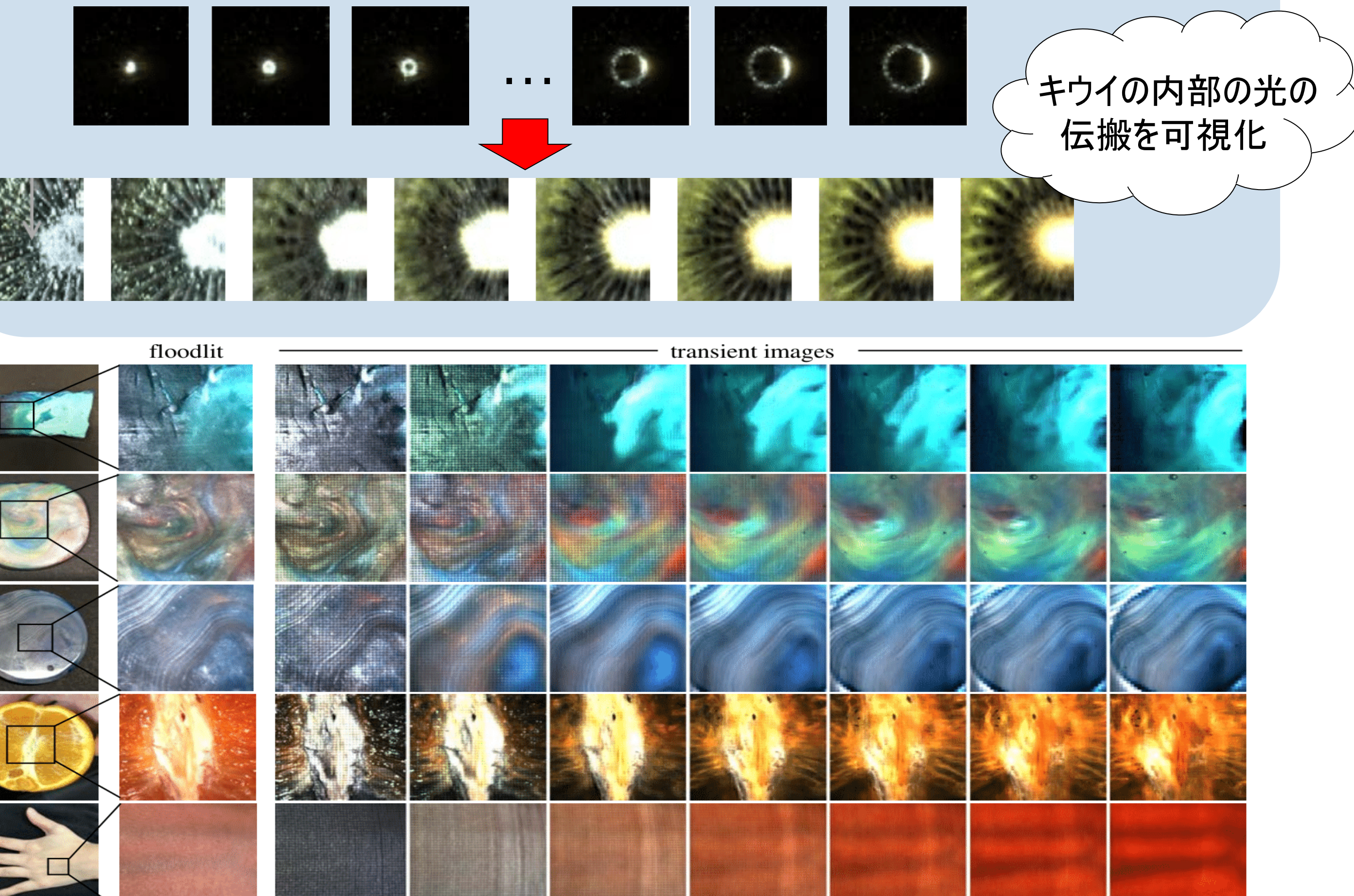
905nm 950nm 輝度画像 3D画像 RGB画像

## 光を通して観る世界 Hyperspectral Imaging



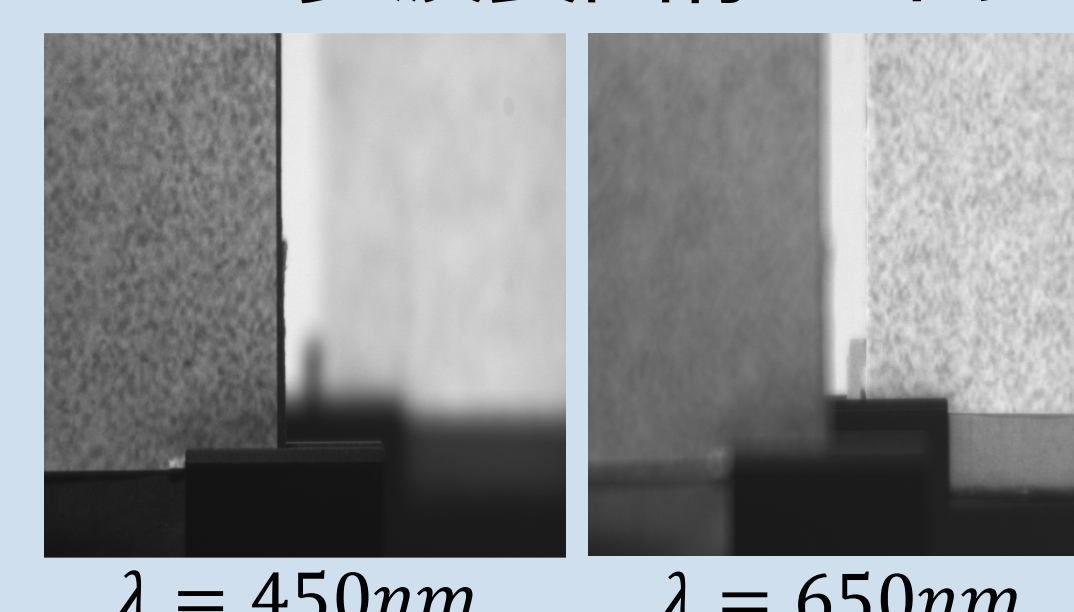
## リングライトによる物体内部の可視化 Variable Ring Light Imaging

仮想的に様々なサイズのリングライトを照射して  
光の散乱を解析することで物体内部の情報を取得

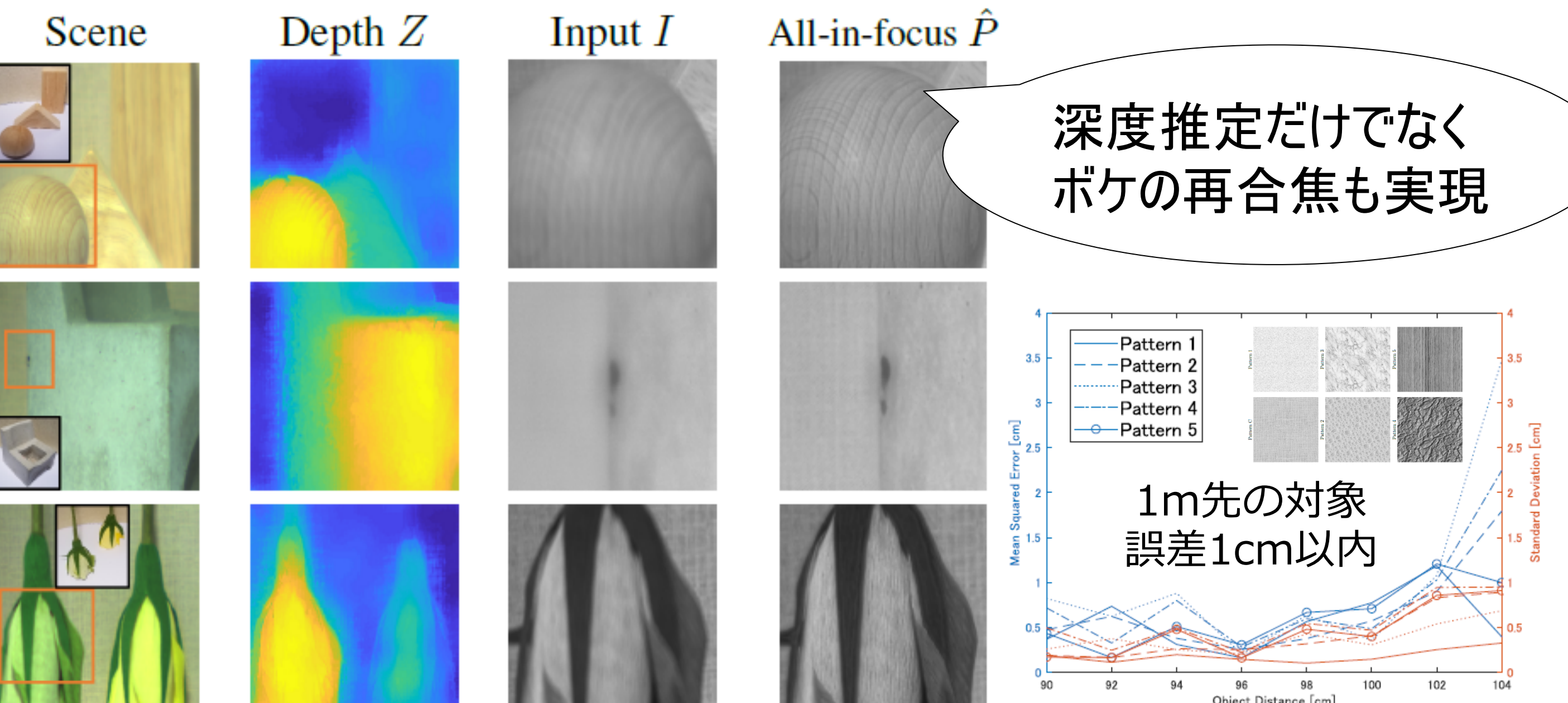


## 分光スペクトルと深度情報の同時取得 Depth from Spectral Defocus Blur

レンズの焦点距離の波長依存性を利用して  
多波長画像のボケを解析することで深度を推定



$\lambda = 450\text{nm}$                              $\lambda = 650\text{nm}$



# Semi-Supervised Learning for Biomedical Image Segmentation via Forest Oriented Super Pixels(Voxels)



## Motivation

- Collecting massive biomedical data is easy, but annotating them is expensive as it necessitates specific knowledge.
- How to predict the pathological region without training data.

## Our Solution

Key observation is that the homogeneous connected areas of low confidence (Fig.1(b)) tends to confuse the classifier with limited training data.

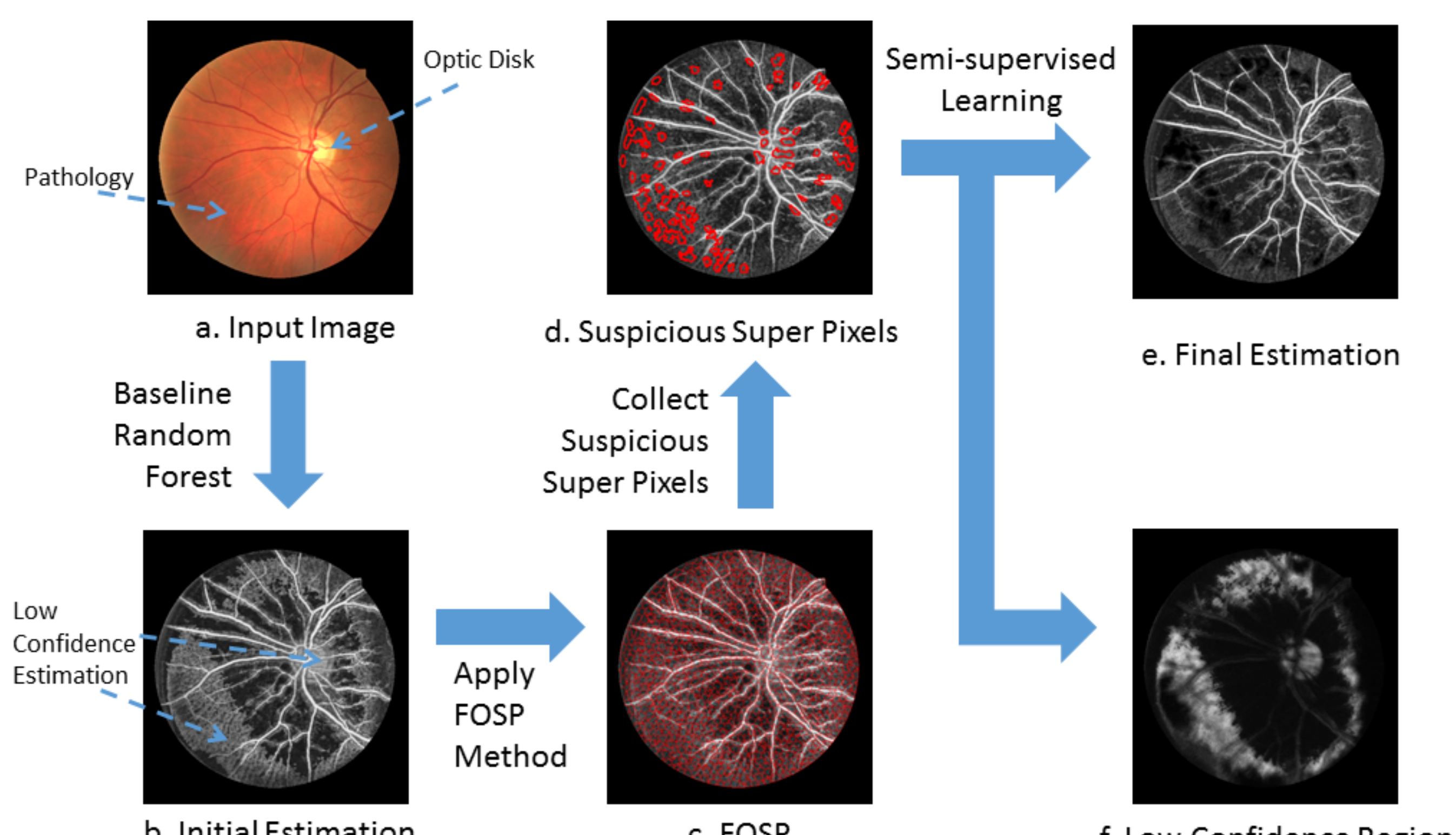


Figure 1: The pipeline.

1. Our method segments the images into super pixels(voxels) (Fig.1(c)) to pick up the low confidence samples.
2. From suspicious super pixels (Fig.1(d)), we train a Random Forest to predict the low confidence areas (Fig.1(f)).
3. By suppressing found low confidence area, our proposed method shows superior performance on challenging 2D retinal and X-ray images and 3D Neuron Data.

## Our Key Contribution

Unlike existing methods, such as SLIC[1], based on unsupervised colour space, our Forest Oriented Super Pixels(Voxels) works on the distance defined on forest based code.

## Results

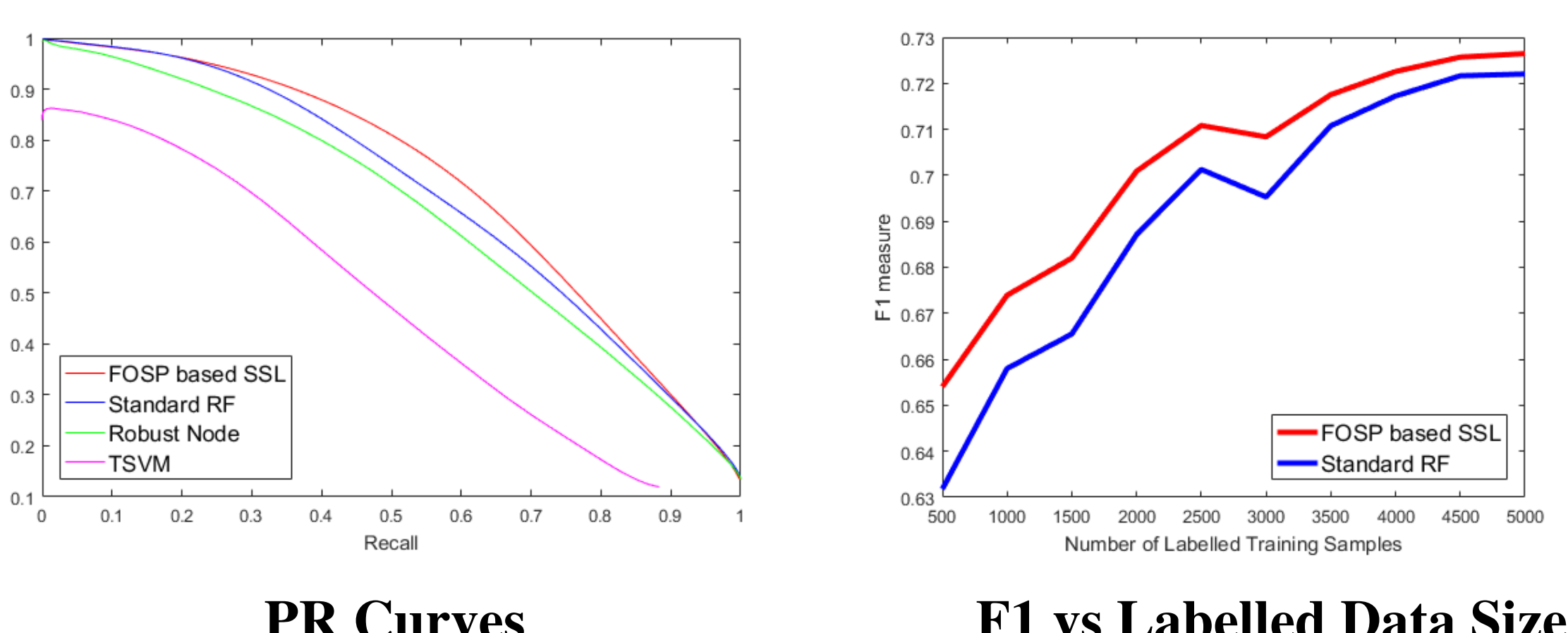


Figure 2: Quantitative Comparison on DRIVE dataset.

We evaluate our method on the retinal dataset DRIVE, X-ray hand image and 3D Big Neuron Challenge[4]. We compare the segmentation performance with two semi-supervised method: TSVM[2], Robust Node Random Forest[3]. All of the methods are trained with only 500 labelled samples.

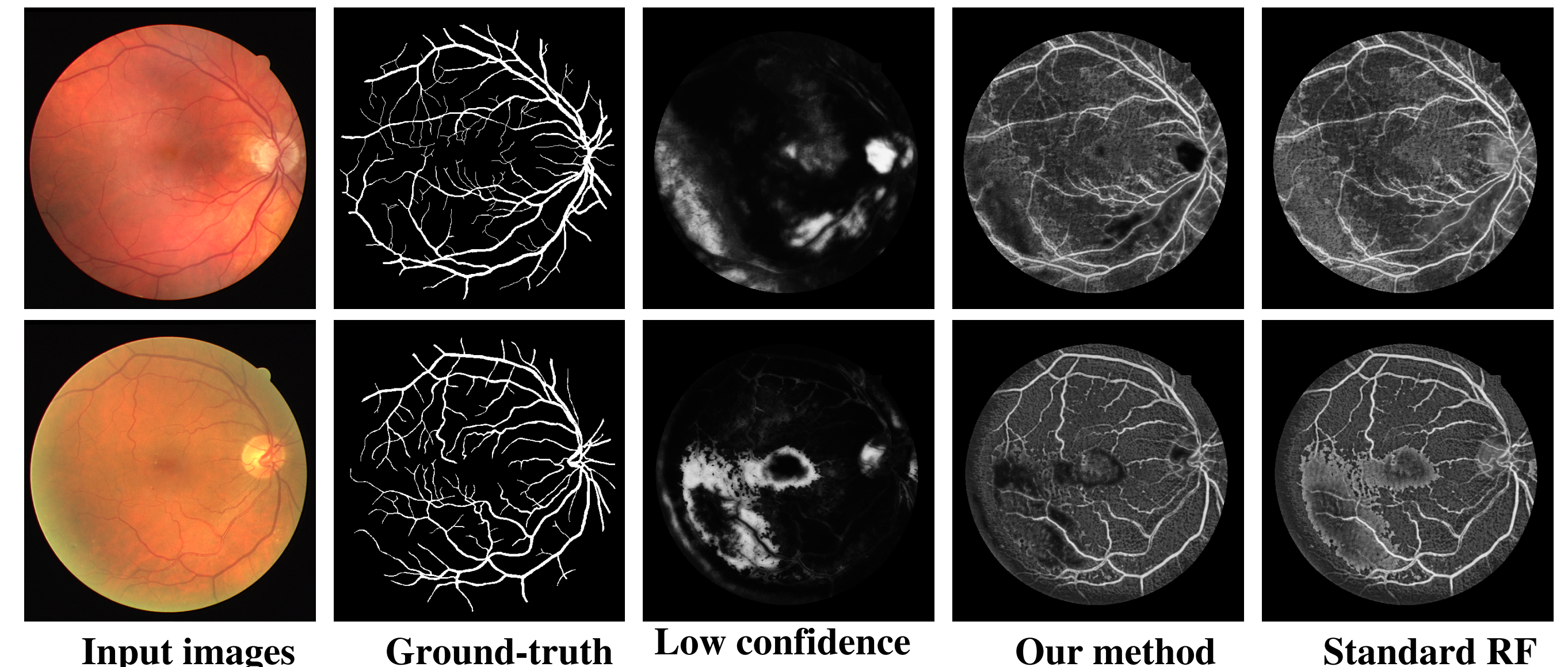


Figure 3:

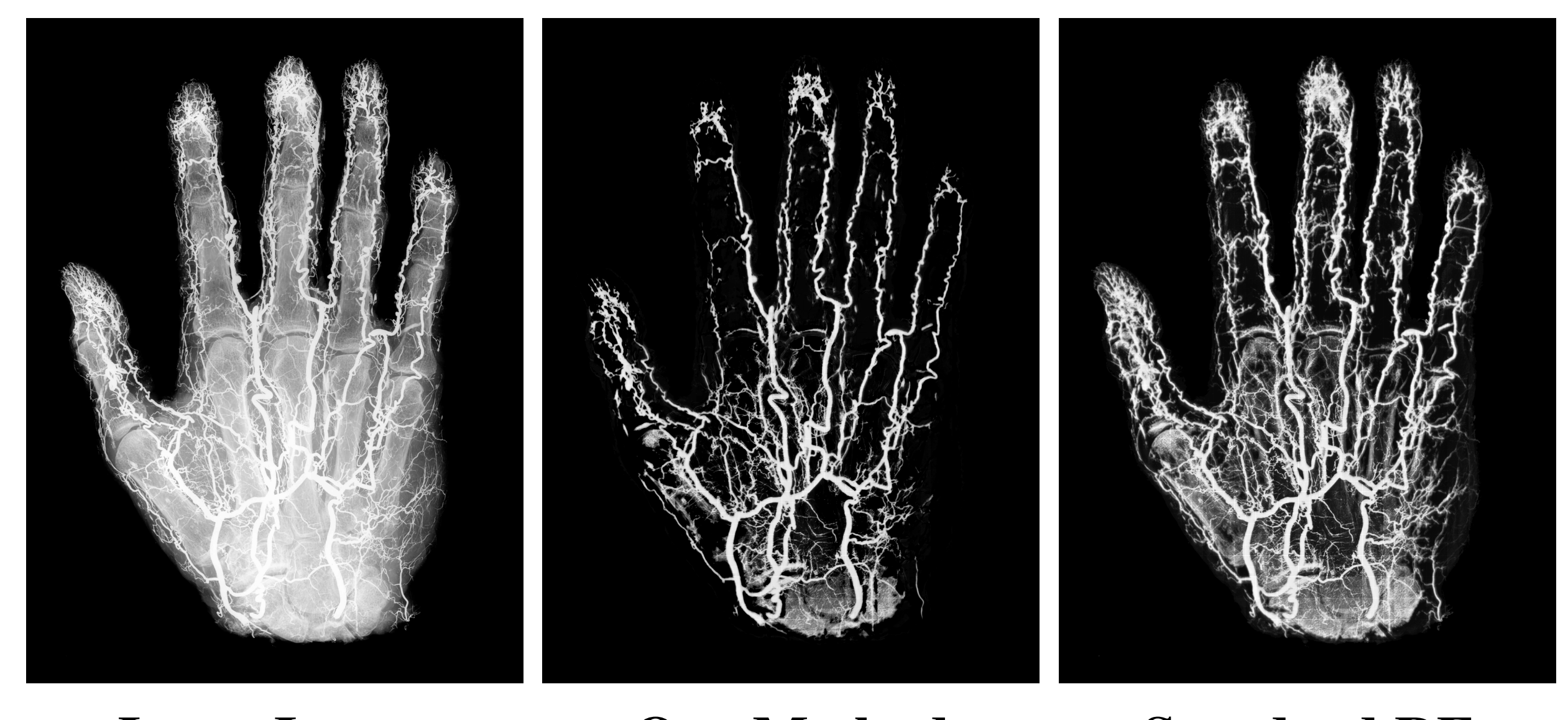


Figure 4: X-ray images of hand.

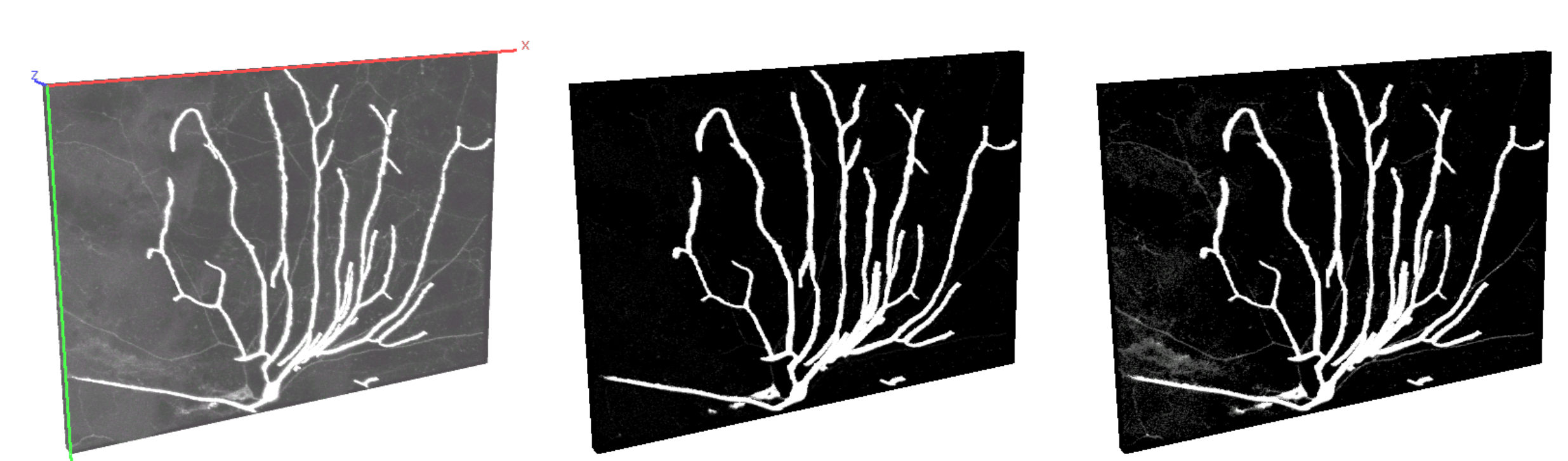


Figure 5: BigNeuron dataset [4].

## Our Contributions

1. We propose a novel Forest Oriented Super Pixels (Voxels) to capture the complementary information of random forest, offering an advantage in the random forest based semi-supervised learning.
2. Our super pixel (voxel) is discriminant to segmentation task.
3. We succeed in unsupervised prediction of the suspicious regions i.e. pathological regions that would otherwise confuse the classifier.
4. We have made our source code public available at GitHub, please check [https://github.com/lingucv/ssl\\_superpixels](https://github.com/lingucv/ssl_superpixels)



Figure 6: Please scan our QR

## References

- [1] R. Achanta, A. Shaji, K. Smith, A. Lucchi, P. Fua, and S. Ssstrunk. Slic superpixels compared to state-of-the-art superpixel methods. *IEEE sactions on Pattern Analysis and Machine Intelligence*, 2012.
- [2] Thorsten Joachims. Transductive inference for text classification using support vector machines. In *ICML/1999*, 1999.
- [3] X. Liu, M. Song, D. Tao, Z. Liu, L. Zhang, C. Chen, and J. Bu. Random forest construction with robust semisupervised node splitting. *TPAMI*, 2015.
- [4] Hanchuan Peng, Michael Hawrylycz, Jane Roskams, Sean Hill, Nelson Spruston, Erik Meijering, and Giorgio A. Ascoli. Bigneuron: Large-scale 3d neuron reconstruction from optical microscopy images. *Neuron*, 2015.
- [5] Shaoqing Ren, X. Cao, Yichen Wei, and J. Sun. Global refinement of random forest. In *CVPR 2015*, 2015.

## Acknowledgements

This work was funded by ImPACT Program of Council for Science, Technology and Innovation (Cabinet Office, Government of Japan).

